Pulsacje geomagnetyczne, EEG

Diana Wojtkowiak

2026

Pole torsyjne Ziemi

2. Recepcja elektromagnetyczna

Promieniowanie Schumana

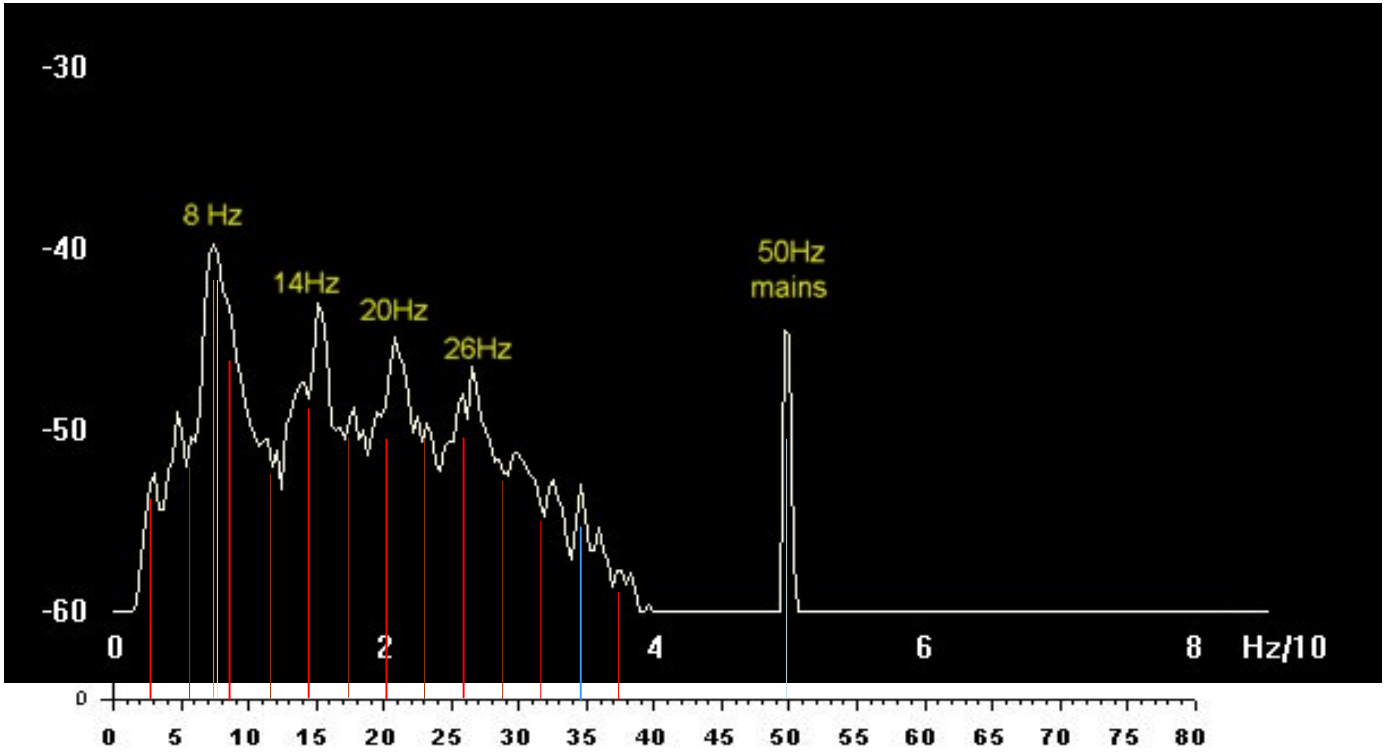

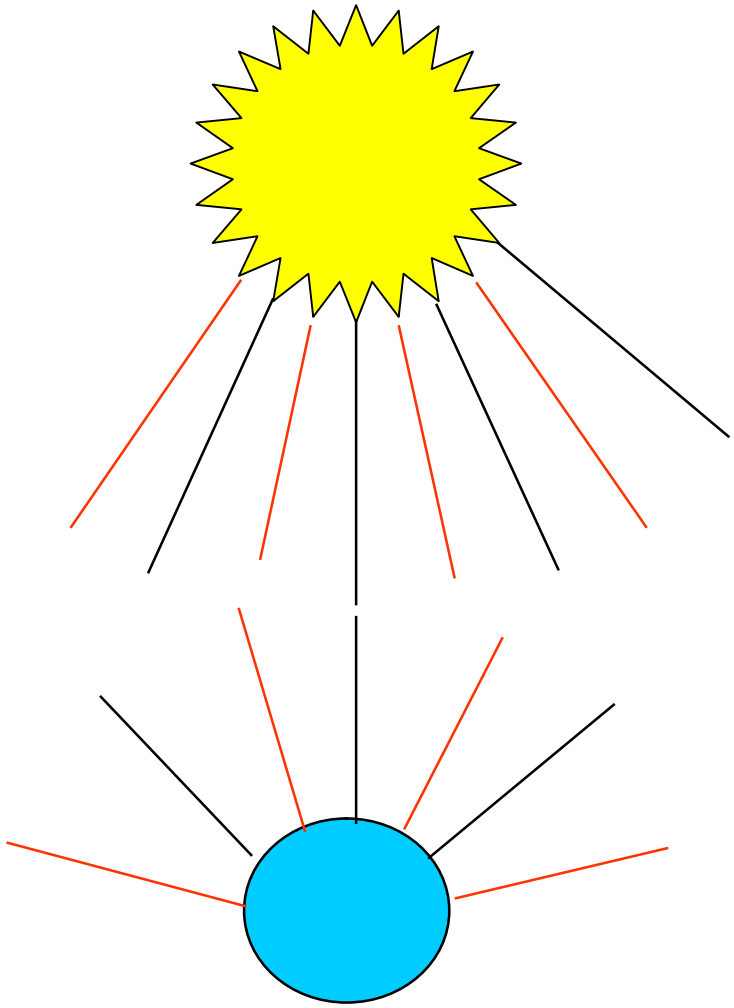

Parametry równoleżnikowe pola Ziemi

warstwa pola	odstęp na równiku	okres	częstotliwość	obserwowalność
nr	m	s	Hz	
0	40 075 000	(1 doba)	1,68 (mHz)	kula ziemska
1	3 340 000	7200	0,14 (mHz)	obszar etniczny
2	278 300	600	1,6 (mHz)	obszar etniczny
3	23 190	50	20 (mHz)	obszar etniczny
4	1 930	4,167	240 (mHz)	
5	161	0,3472	**2,880**	siatka geopatyczna
6	13,4	$28,9 \times 10^{-3}$	**34,56**	siatka geopatyczna
7	1,12	$2,411 \times 10^{-3}$	414,7	siatka geopatyczna
8	0,093	$2,009 \times 10^{-3}$	4977	

Pulsacje geomagnetyczne

Geomagnetic pulsations in aeromagnetic surveys

http://www.ips.gov.au/Educational/3/1/2

W nawiasach - skorygowane (na oko) pozycje maksimów pików leżących na zboczach. Podobny problem występuje w chromatografii

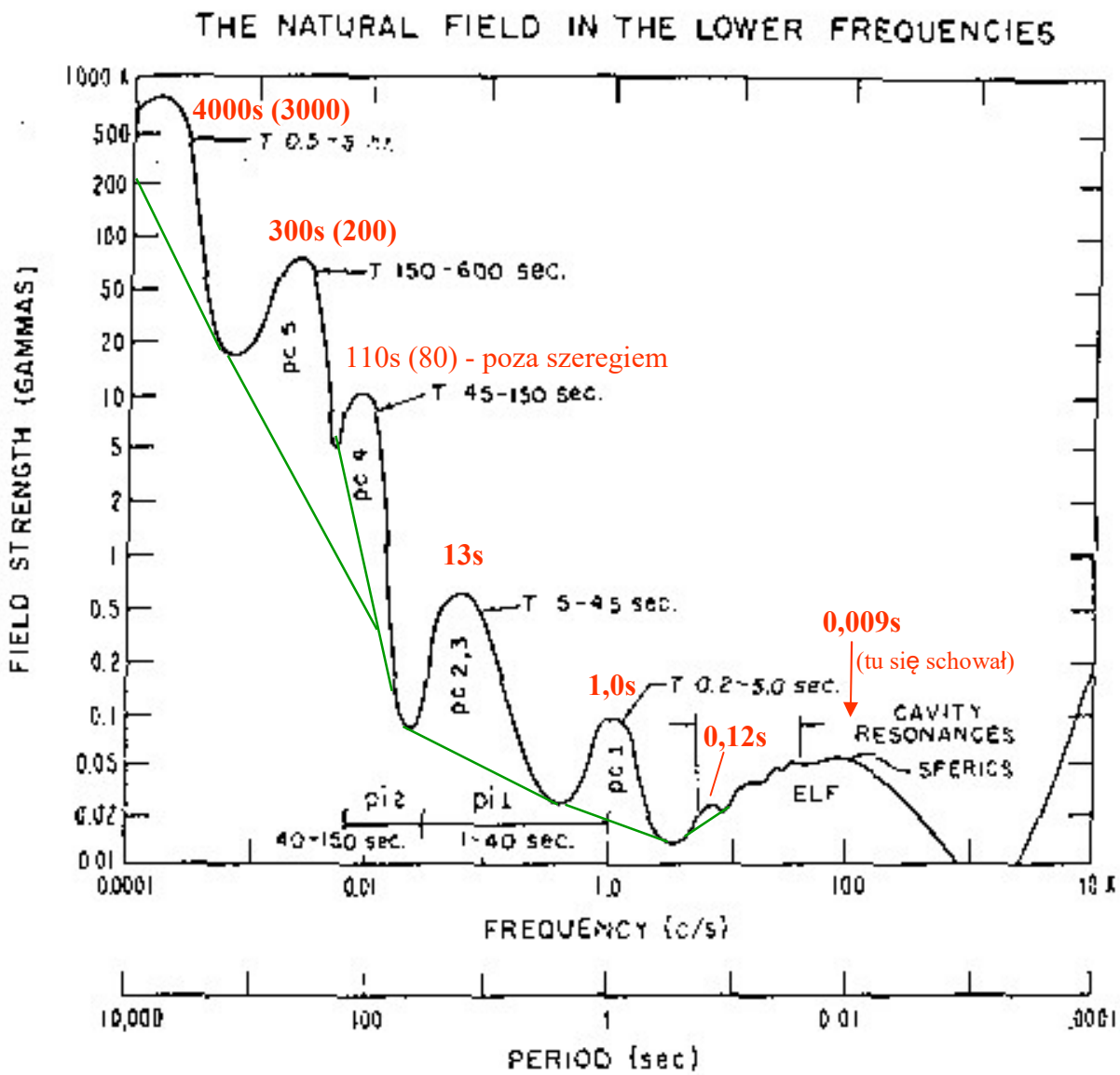

1	2	3	4	5	6	
warstwa	warstwa	warstwa	warstwa	warstwa	warstwa	3 harmoniczna pola
2400s	200s	16,67s	1,389s	0,115s	0,0096s	

Pik pc4 jest tutaj wyjątkiem. Ale potrzebnym wyjątkiem. W tle powinno się jeszcze kryć parę pików. Te główne piki jak się spodziewałam są od odbicia lub rozpraszania poszczególnych dwunastych harmonicznych liczonych wzdłuż równika przez Słońce i Księżyc (może to być - i to najbardziej prawdopodobne oddziaływanie z podobnym ich polem). Wartości które obliczyłam są Dla słońca. Dla księżyca powinny być częstotliwości mniejsze o ok. 3% co przy tej rozdzielczości nie będzie zauważalne. Ten wyjątek potrzebny jest z kolei, żeby zinterpretować ruch dzienny Słońca i Księżyca wzdłuż południków. Tutaj spodziewane częstotliwości dla każdej warstwy będą co najmniej rząd wielkości niższe i zależne od pory dnia.
Wykres ten potwierdza istnienie powiązania między znalezionymi przeze mnie warstwami na podstawie danych etnicznych a siatką geopatyczną. Jest też spodziewana warstwa 4.

Ocena natężeń poszczególnych warstw. Na podstawie danych etnicznych jest się w stanie z równą łatwością zauważyć wpływy wszystkich trzech warstw. Więc spodziewać by się można, że natężenia tych warstw są podobne - równe lub trochę malejące (gdyby były rosnące mógłby się pojawiać problem nieskończoności dla wysokich warstw). Tu wychodzi że natężenie pola magnetycznego bardzo szybko maleje - rząd wielkości (a może właśnie 12x) na warstwę.

$$1\gamma = 10^{-9}\ T = 1nT$$

	warstwa pola	H [γ]
1	600	
2	50	
3	0,4	
4	0,08	
5	0,01	

Zmienne pole od ruchu wzdłuż równoleżników

Słońce 360° v = 463,8 m/s

arstwa pola	odstęp na równiku	okres	częstotliwość	3 harmoniczna okres	3 harmoniczna częstotliwość
nr	m	s	Hz	s	Hz
0	40 075 000	86400 (1 doba)	0,0116 (mHz)	28800	0,03472 (mHz)
1	3 340 000	7200	0,1389 (mHz)	2400	0,4167 (mHz)
2	278 300	600	1,667 (mHz)	200	5 (mHz)
3	23 190	50	20 (mHz)	16,67	60 mHz
4	1 930	4,167	240 (mHz)	1,389	720 (mHz)
5	161	0,3472	**2,880**	0,1157	8,641
6	13,4	28,9 (ms)	**34,56**	9,633 (ms)	103,8
7	1,12	2,411 (ms)	414,7	0,8037 (ms)	1244
8	0,093	0,2009 (ms)	4977	0,0670 (ms)	14930

Proste obliczenie średniej częstotliwości wynikającej z rocznego ruchu Słońca wzdłuż południków daje wartości, które znajdują się w publikacjach, również odpowiada im niezagospodarowana częstotliwość Pc4. Z danych z publikacji polaryzacja pola elektromagnetycznego podąża za przesuwającym się Słońcem, podobne pulsacje są na innych planetach, a w przypadku Jowisza, za wytwarzanie tych pulsacji odpowiedzialny jest księżyc Jo. Z pierwszego podejścia wygląda tak, jakby pole kategorii w oddziaływaniu głównie ze Słońcem wytwarzało ruchy cząstek w jonosferze, to wytwarzało falę van Alfvena, a z tego dopiero powstawało pole magnetyczne.

Porównanie EEG z pulsacjami pola Kategorii

Rytm		Matti Pitkanen	Int. Handb. of Neurol.	EEG atlas		pole kategorii	
		Hz	Hz	Hz		Hz	
Delta δ	głęboki sen	0,5-3	< 3	<4		< 2,88	5 warstwa < 1 harm.
Theta θ	sen, REM, halucynacje	4-7	3,5-7,5	4-8		2,88-8,64	5 warstwa 1-3 harm.
Alfa α	odprężenie	8-13 (20 μV)	8-13	8-14		8,64-14,4	5 warstwa 3-5 harm.
Beta β	myślenie rozumowe, uwaga	14-30 (40-100μV)	> 13	> 14		14,4-34,56	5w. 5 harm. - 6w. 1harm.
Gamma γ	informacje sensoryczne	30-90 (80Hz-siatkówka)		30-45		34,5-103,8	6 warstwa 1-3 harm.
	procesy kojarzenia, uwaga		EEG: 0,5-500Hz	HFB1 51-100 HFB2 101-200 HFB3 201-500		< 414,7	7 warstwa < 1 harm
		amplituda maleje ze wzrostem częstotliwości					

Z powyższego wynikałoby, że pole kategorii Ziemi jest zegarem taktującym mózgu.
U zwierząt, ryb, a nawet pszczół, częstotliwości są w podobnych zakresach.
Logicznie wydawałoby się, że mniejsze i szybsze zwierzątka powinny mieć dużo większe częstotliwości.

Określone częstotliwości pola kategorii stanowią tu granice poza, które pewne procesy psychiczne nie wychodzą.

Systematyzując uczucia początkowo rozpatrywałam je na czterech poziomach, po sześć tworzących pary na każdym poziomie i posiadające pewne analogie między poziomami.

1.Uczucia sensoryczne - związane wprost z wrażeniami zmysłowymi

2. Uczucia niższe
3 .Uczucia wyższe (ten ogólny dwupodział od Maslowa)

4. Uczucia intelektualne - występujące przy myśleniu na wysokim stopniu abstrakcji

Później wyrzuciłam sensoryczne i intelektualne, uważając je za mało wnoszące coś konkretnego. Po latach dowiedziałam się, że filozofowie wschodu, też zrobili takie cięcie.

Wstawiam te poziomy do tabeli. Do ustalenia, czy niższe uczucia to rytm alfa, a wyższe beta?

Rytm				pole kategorii	
				Hz	
Delta δ	głęboki sen		4 warstwa	< 2,88	5 warstwa < 1 harm.
Theta θ	sen, REM, halucynacje	Uczucia niższe	5 warstwa	2,88-8,64	5 warstwa 1-3 harm.
Alfa α	odprężenie			8,64-14,4	5 warstwa 3-5 harm.
Beta β	myślenie rozumowe, uwaga	Uczucia wyższe		14,4-34,56	5w. 5 harm. - 6w. 1harm.
Gamma γ	informacje sensoryczne	Uczucia sensoryczne	6 warstwa	34,5-103,8	6 warstwa 1-3 harm.
	procesy kojarzenia, uwaga	Uczucia intelektualne		< 414,7	7 warstwa < 1 harm
			7 warstwa		

Efekt petrovoltaiczny

petrovoltaic effect
petroelectric effect

Thomas Townsend Brown

An oval-shaped basaltic rock, approximately 3" x 5" x 8", from the rim of the ancient Koolau volcano on Oahu, Hawaii, is thoroughly oven-dried and copper electrodes are painted on opposite sides. The rock is then covered with an insulating plastic sheath and enclosed in several layers of aluminum foil, which is grounded. A 5-megohm wire-wound precision resistor (Shallcross) is attached to provide an electrical load. The load causes the freely-floating self-potential of the rock to drop from approximately 300 mV. The rock and resistor are encased in an electrically shielded, constant temperature box controlled to .1^{o}C.

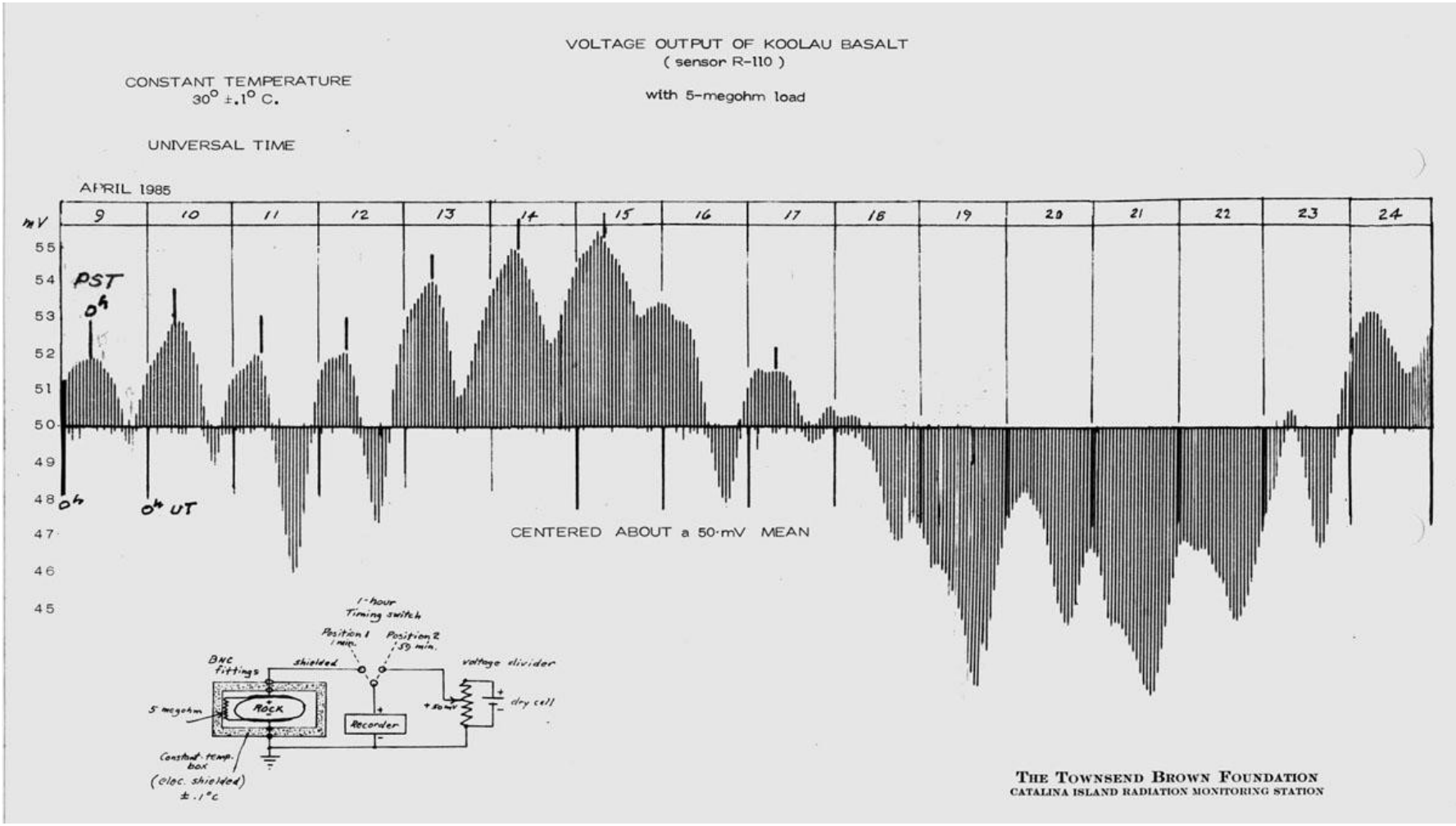

BNC shielded cable connects the rock to a double-throw one-hour timing switch, thence to a strip-chart recorder as shown in the diagram. When the switch is in position 1 for one minute, the recorder is directly connected to the rock. When in position #2, for the remaining fifty-nine minutes, the recorder is connected to a fixed 50 mV constant (battery-fed) source.

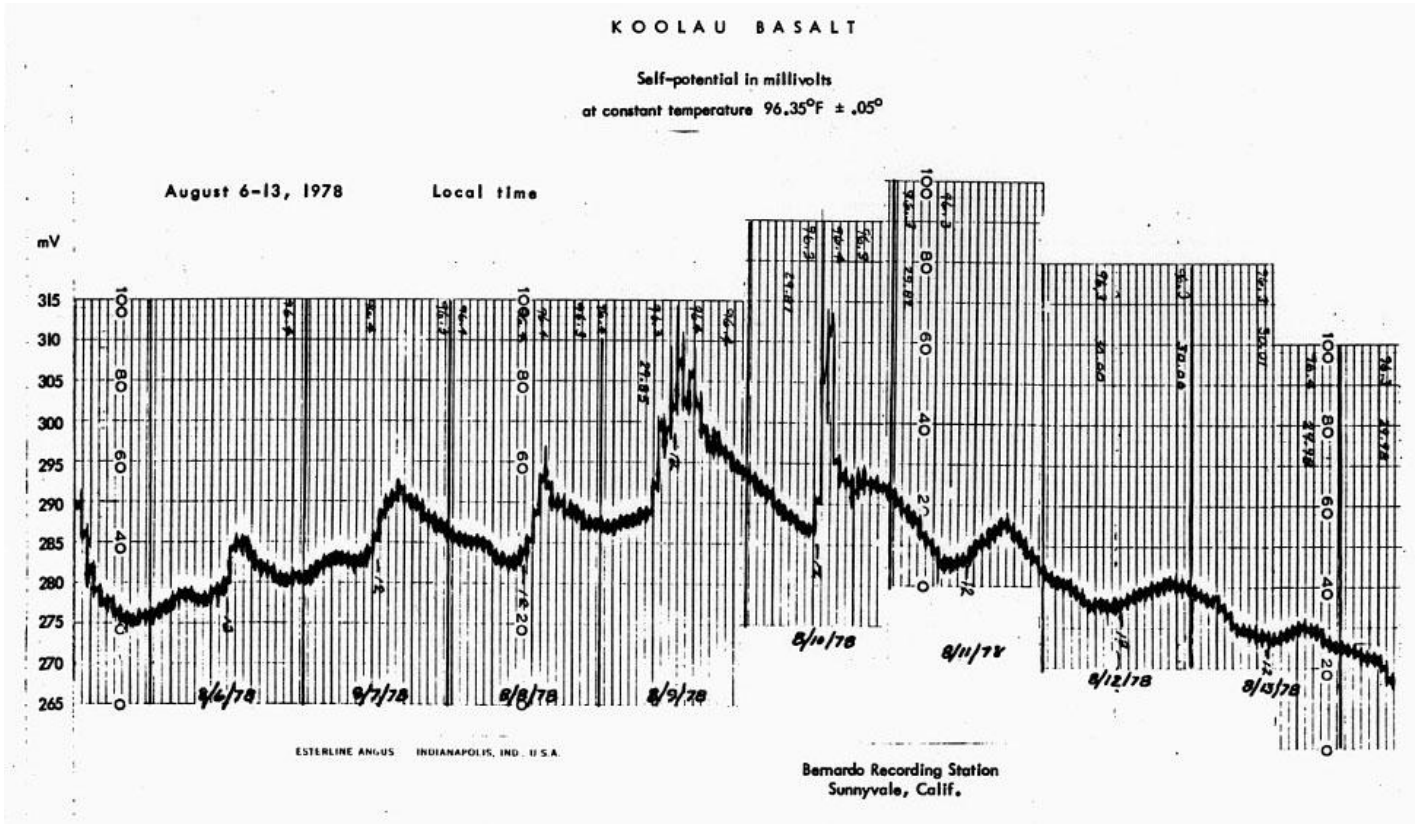
KOOLAU BASALT
Self-potential in millivolts
at constant temperature 96.35°F ± .05°
August 6-13, 1978
Local time
mV
315
310
305
300
295
290
285
280
275
270
265
8/6/78
8/7/78
8/8/78
8/9/78
8/10/78
8/11/78
8/12/78
8/13/78
ESTERLINE ANGUS INDIANAPOLIS, IND., U.S.A.
Bernardo Recording Station
Sunnyvale, Calif.

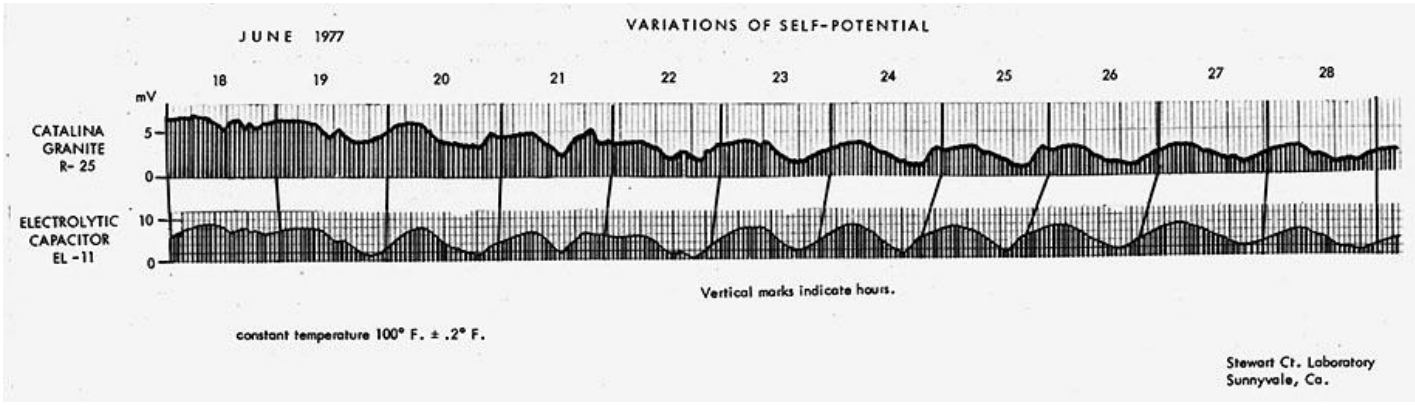
JUNE 1977
VARIATIONS OF SELF-POTENTIAL
18
19
20
21
22
23
24
25
26
27
28
mV
CATALINA GRANITE R-25
ELECTROLYTIC CAPACITOR EL-11
Vertical marks indicate hours.
constant temperature 100° F. ± .2° F.
Stewart Ct. Laboratory
Sunnyvale, Ca.

Oddziaływania na wodę

Pergamon

Biophysics, Vol. 41, No. 3, pp. 553–557, 1996
Copyright © 1996 Elsevier Science Ltd
Printed in Great Britain. All rights reserved
0006–3509/96 $24.00 + .00

PII: S0006-3509(96)00110-X

CONDUCTIVITY FLUCTUATIONS IN WATER*

A. Ya. GLUVSHTEIN

All-Russian "Gradient" Research Institute, Rostov-on-Don

(*Received* 15 *June* 1994, *after revision* 29 *March* 1995)

Periodically waning conductivity fluctuations with a frequency of 9.0 and 13.5 Hz have been detected experimentally in water. An original method for observing these fluctuations in a pulsed electric field is described. It is assumed that the source of the fluctuations stems from the ordered regions consisting of 10^9 water molecules with a mass of the order of 10^{-16} kg. Such formations possibly play an important role in the processes of reception, synaptic transmission and also diffusion of biologically active substances in the near-membrane layers of intercellular space.
Copyright © 1996 Elsevier Science Ltd.

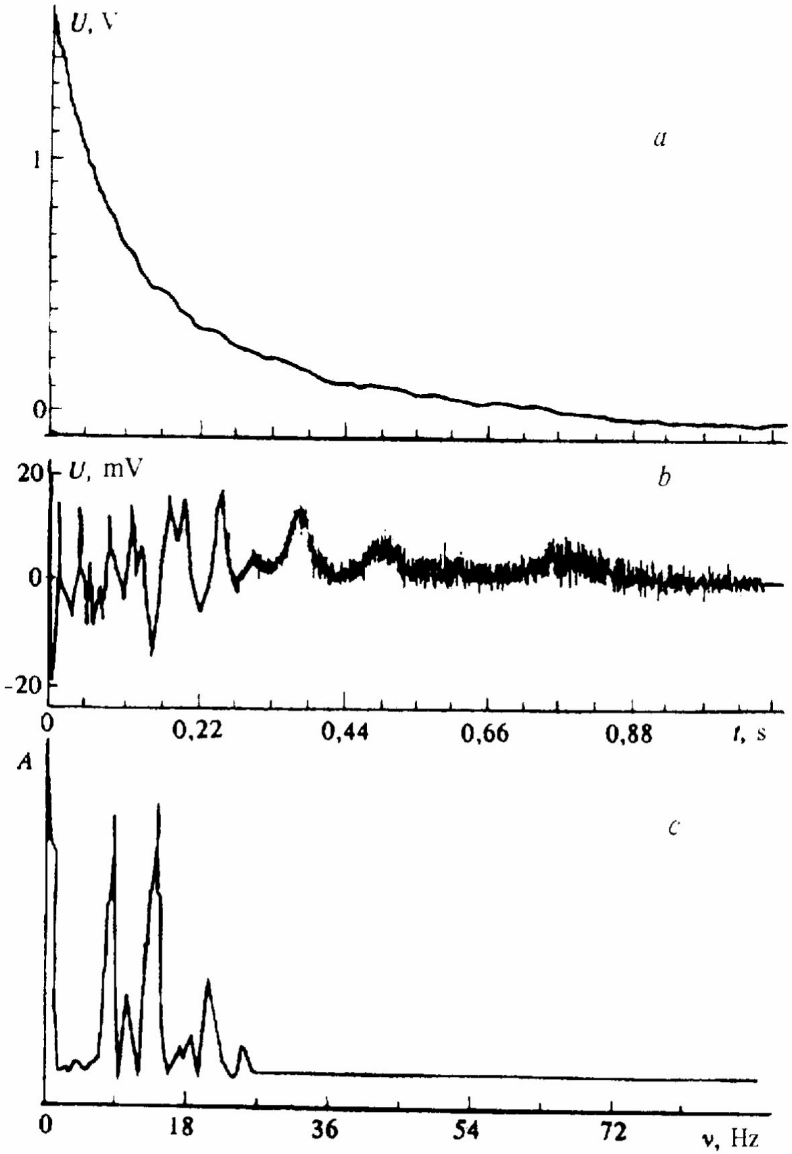

Fig. 2. Curve of the discharge of the capacitance of the measuring unit (*a*); conductivity fluctuations of the measuring unit (*b*); and density of the power spectrum of the conductivity fluctuations of the measuring unit (*c*).

Publikacja dotycząca wody, a mogąca mieć implikacje dla EEG. Na wykresie częstotliwości pierwszy duży pik (pomijając zerowy) odpowiada 3 harmonicznej (od 2,88Hz), pierwszy mały 4-tej, drugi duży 5-tej, następny mały 6-tej, trochę większy 7-ej, ósma parzysta już za malutka, żeby było widać, i jeszcze ślad dziewiątej.

Efekt Schnolla

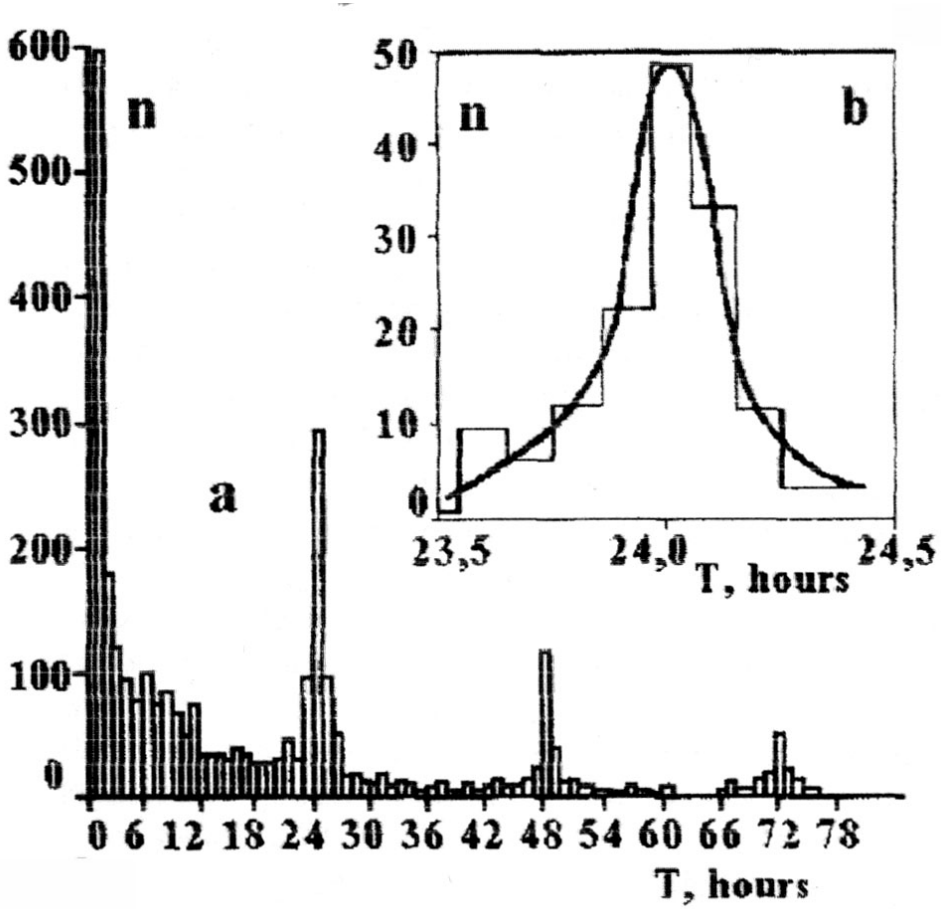

Fig.2. Appearance of conformal histograms as function of time shift T for alpha decay of ^{239}Pu: (a) for 1986-1992 (60 000 histograms, 3065 conformal pairs. t=60s, N=60)(Shnoll, 1995). (b) high resolution data (t=6s, N=60) in the vicinity of diurnal maximum (Shnoll et al., 1997)

Są w efekcie Shnolla niektóre spodziewane według pola Kategorii częstotliwości.

Volume 1 PROGRESS IN PHYSICS January, 2007

Experimental Investigations of the Existence of a Local-Time Effect onthe Laboratory Scale and the Heterogeneity of Space-Time

Victor A. Panchelyuga, Valeri A. Kolombet, Maria S. Panchelyuga and Simon E. Shnoll,†
Institute of Theor. and Experim. Biophysics, Russian Acad. of Sciences, Pushchino, Moscow Region, 142290, Russia, †Department of Physics, Moscow State University, Moscow 119992, Russia

The main subject of this work is an experimental investigation of the existence of a local-time effect on the laboratory scale, i.e. longitudinal distances between locations of measurements from one metre to tens of metres. A short review of our investigations of the existence of a local-time effect for longitudinal distances from 500m to 15 km is also presented. Besides investigations of the minimal spatial scale for a local-time effect, the paper presents investigations of the effect in the time domain. In this relation the structure of intervals distribution in the neighbourhood of local-time peaks was studied and splitting of the peaks was revealed. Further investigations revealed second order splitting of local-time peaks. From this result it is concluded that space-time heterogeneity, which follows from the local-time effect, probably has fractal character.
The results lead to the conclusion of sharp anisotropy of space-time.

Zimna synteza jądrowa

- Martin Fleichman (D2Fusion), Stanley Pons

Najogólniej trzy przypadki:
- elektroliza-dyfuzja,
- sonofuzja,
- wiry o dużych przepływach.

- Energia inicjująca
- Paliwo → popiół, niskie promieniowanie,
- Mikrosfery otoczone materiałem o wysokiej stałej dielektrycznej

- efekt Casimira, fluktuacje próżni:
  - bąbelki
  - niejednorodności w metalu

- Rezonansowe oddziaływanie ze zmiennym polem Kategorii.

Efekty rezonansowe

Okazuje się, że wykorzystuje się często częstotliwości podstawowe pochodzące od oddziaływania Ziemia-Słońce a więc w pobliżu:

34,56 Hz, **414,7** Hz, **4976,64** Hz, **59720** Hz.

Np:
US Pat. 4394230 dotyczący elektrolizy (ze wzrostem wydajności do 115%), zakres częstotliwości **59748** Hz do 66221Hz ze zmianą na zakres 1272 do 1848 (1244Hz - trzecia harmoniczna), jak też częstotliwość **5000** Hz (ciekawe z czym wiążą się te górne granice).

US Pat. 6790324, produkcja parawodoru przez elektrolizę, **17-22Hz** - to połowa częstotliwości pochodzącej od Kategorii, ale temat dotyczy manipulacji spinami jądrowymi.

Z kolei Potapow podaje przykład urządzenia z wirem gdzie przetłacza się wodę przez mały otworek w dielektryku i powstaje fala o częstotliwości **5 kHz**.

Podaje też przykład sonoluminescencji w której najlepsze efekty uzyskuje się nie dla ultradźwięków ale gdzieś koło **5kHz**.

Publikacja Stable sonoluminescence within a water hammer tube, PHYSICAL REVIEW E **69**, 066317 (2004) - **35Hz**.

Elektroliza Pd/D

5kHz EA 90mW → 250mW

Tenth International Conference on Cold Fusion. 2003. Cambridge, MA: LENR-CANR.org.

Fluidized Bed Experiments Using Platinum And Palladium Particles In Heavy Water

M.H. MILES
Department of Chemistry, University of La Verne, La Verne, CA 91750, USA E-Mail: mmiles@ulv.edu or melmiles1@juno.com

These experiments were designed to give the dynamic electrolysis conditions of fluidized beds by the use of small palladium particles. Both direct current electrolysis and pulse power electrolysis methods were used in this study. The excess power observed was 90 mW for direct current electrolysis in D2O + 0.1 M LiOD (I=0.300 to 0.400 A). For pulse electrolysis (pulse width 1.0 μs, pulse frequency 5 KHZ, peak voltage 98 V), the excess power increased to 250 mW. No excess power was observed for similar experiments using platinum particles in D2O + 0.1 M LiOD.

F.Celani

Elektroliza Pd/D

Impulsy 5kHz

Study of Deuterium Charging Behaviour in Palladium and Palladium Alloy Plates, Changing Surface Treatments, by μs Pulsed Electrolysis

Francesco CELANI*, Antonio SPALLONE*, Paolo TRIPODI*,
Alessandra PETROCCHI*, Daniele Di GIOACCHINO*,
Paolo MARINI**, Vittorio Di STEFANO**
Marco DIOCIAIUTI***, Alfredo MANCINI****

* INFN, Laboratori Nazionali di Frascati, via E.Fermi 40, 00044 Frascati (Italy).

**SKITEK, IRI, Pomezia (Italy)

***ISS, Via Regina Margherita 5, 00100 Roma (Italy)

****ORIM S.R.L., Via Concordia 65, 62100 Macerata (Italy)

Fala prostokątna 100s
(2 x 50s)

HIGH HYDROGEN LOADING INTO THIN PALLADIUM WIRES THROUGH PRECIPITATE OF ALKALINE–EARTH CARBONATE ON THE SURFACE OF CATHODE: EVIDENCE OF NEW PHASES IN THE Pd–H SYSTEM AND UNEXPECTED PROBLEMS DUE TO BACTERIA CONTAMINATION IN THE HEAVY WATER

F. Celani[1], A. Spallone[1], P. Marini[2], V. di Stefano[2], M. Nakamura[2], A .Mancini[3], S. Pace[1], P. Tripodi[1], D. Di Gioacchino[1], C. Catena[4], G. D'Agostaro[4], R. Petraroli[5], P. Quercia[6], E. Righi[1], G. Trenta[1]

[1)] *INFN– Laboratori Nazionali di Frascati, Via E. Fermi 40, 00044 Frascati (Roma), Italy*
[2)] *EURESYS, Via Lero 30, 00129 Roma, Italy*
[3)] *ORIM SrL, Via Concordia 65, 62100 Piediripa (MC), Italy*
[4)] *ENEA–CR Casaccia, Via Anguillarese 301, 00060 Roma, Italy*
[5)] *Perkin Elmer Italia, Via A. Ciamarra 209, 00173 Roma, Italy*
[6)] *ASL–RM H, Via E. Fermi, 00044 Frascati (Roma), Italy*

F.Celani

Elektroliza Pd/D
400 Hz
120mW→287mW

Practical Techniques In CF Research – Triggering Methods

D. J. Cravens
Cloudcroft, NM 88317, USA
E-mail: dennis@Tularosa.net

D. G. Letts
Austin TX 78727, USA
E-mail: lettslab@austin.rr.com

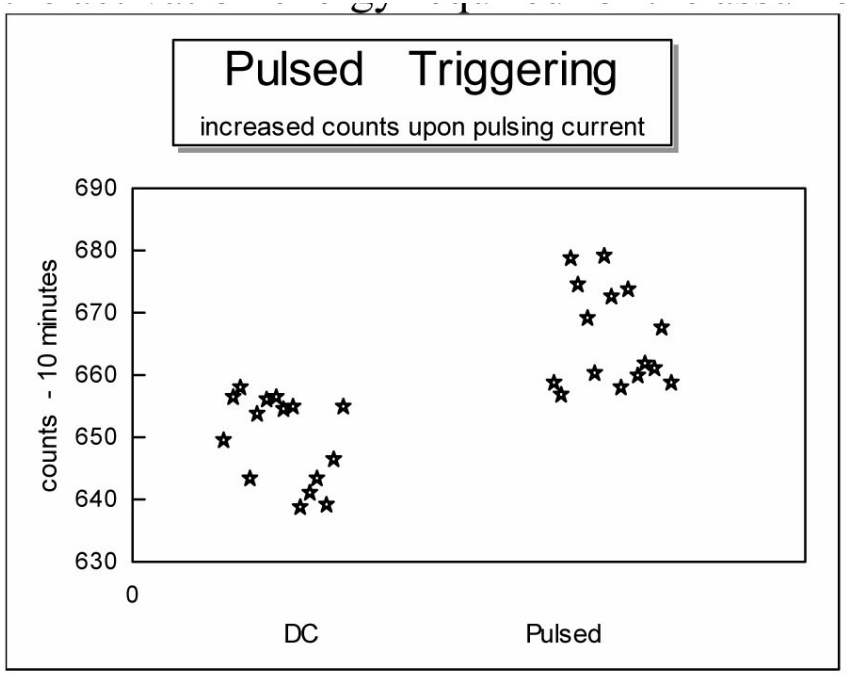

Figure 3. Both the excess power and radiation counts increase upon pulsing the current to an active cell. A cell using LiOD electrolyte and a cathode produced by codeposition of Pd black on Ag was used. Additions of Ni, Re and Th were used. The current was pulsed at 400 Hz with a 20% duty cycle. The average input power was 10W as read by a Clark Hess. The average 10-minute counts were elevated from 651 to 668 or about a 0.6 sigma signal. The excess heat of the cell also changed from 120 mW to and average of 287 mW.

Practical Techniques In CF Research – Triggering Methods

Dyfuzja Pd/D
fala akustyczna
5000Hz

D. J. Cravens
Cloudcroft, NM 88317, USA
E-mail: dennis@Tularosa.net

D. G. Letts
Austin TX 78727, USA
E-mail: lettslab@austin.rr.com

2.2 Pressure

Pulsing the deuterium pressure to CF systems can occasionally trigger gas systems. This can be done by either gas supply systems or by acoustical excitation. The goal is to cause a flux of deuterium in an out of the system and across a gradient of chemical potential. For example, palladium black was prepared from solution by hydrazine reduction in which Ni was also included. This caused the palladium black to have an outer surface containing more Ni than the interior due to their relative chemical reactivities. The material was placed within an epoxy encased glass tube and deuterium gas was supplied to the material. The temperature of the palladium black was found to rise upon the cycling of deuterium gas between 500 and 15,000 torr. In a separate experiment was conducted using a standing acoustical signal of 5,000 Hz by exciting a similarly filled tube. Temperature variations were found between the node and anti-node regions.

Wyładowanie jarzeniowe
Ti/D 5 kHz, 2000V

Promieniowanie
rentgenowskie
10^{13} fotonów/s

Strong Enhancement of DD-reaction Accompanied by X-ray Generation in a Pulsed Low Voltage High-Current Deuterium Glow Discharge with a Ti-Cathode

A.G. Lipson[1], A.S. Roussetski[2], A.B. Karabut[3] and G.H. Miley[1]

[1]University of Illinois at Urbana-Champaign, Dept. Nuclear, Plasma & Radiological Engineering, Urbana, IL, 61801 USA
[2]P.N. Lebedev Physics Institute, The Russian Academy of Sciences, Moscow 117924, Russia
[3]State Scientific-Industrial Association "Luch", Podol'sk, Moscow Region, 142100, Russia

Experiments showed that Ti-cathode deuteron bombardment in pulsed-periodic GD in is always accompanied by intensive emission of the soft X-ray quanta. In the experiments involving TLD in GD with Ti-cathode at I=200 mA and U=1.25 kV, the high intensity ($I_x \geq 10^{13}$ photon/s in 4π-steradian), soft X-ray emission with quanta energy E_x = 1.1 –1.4 keV was detected (**Fig 10**). It is important that the mean energy of X-ray photons emitted during glow discharge operation is close to the bombarding deuteron energy.

The X-ray pulses are strongly correlated with the current pulses in the stationary glow discharge regime. The rise of current and voltage in GD is resulted in the essentially non-linear yield of the X-ray emission (**Fig.12**). The start of X-ray signal recorded by plastic scintillator detector is usually coincided with the current pulse start. The X-ray signal reaches its maximum within the time of few μs and then drops slowly within 200 μs duration.

NADH-Oksydaza

NADH oxidase - cykl 24 min
rośliny
komórki CHO
komórki Hela
NADH oxidase z Hela klonowana do bakterii

Niezależność cyklu od temperatury

Resetowanie niebieskim światłem,
melatoniną (10-1000nM)

NADH oxidase (ECTO-NOX) mouse skin

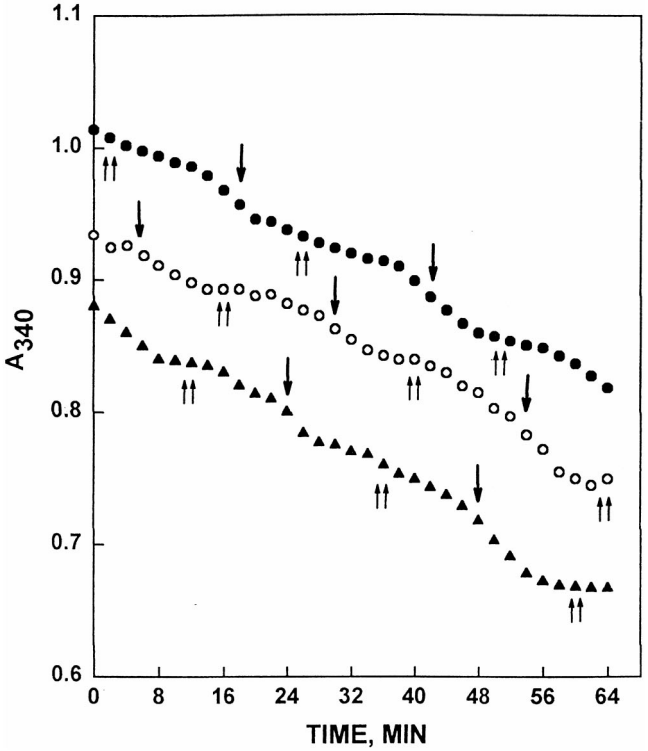

Fig. 1. A_{340} after addition of NADH (final concentration of 150 μM) to 3 ml of buffer containing 1 mM KCN by three 1-cm^2 explants of fresh (solid circles) or frozen (open circles, triangles) BALC/c mouse skin. Single downward-pointing arrows indicating rapid rates of NADH oxidation are spaced at intervals of 24 min. Also spaced at intervals of 24 min are upward-pointing double arrows indicative of slower rates of NADH oxidation. A linear blank rate of 0.02 A_{340} min^{-1} was subtracted for fresh skin and a blank rate of +0.011 A_{340} min^{-1} was subtracted for frozen skin.

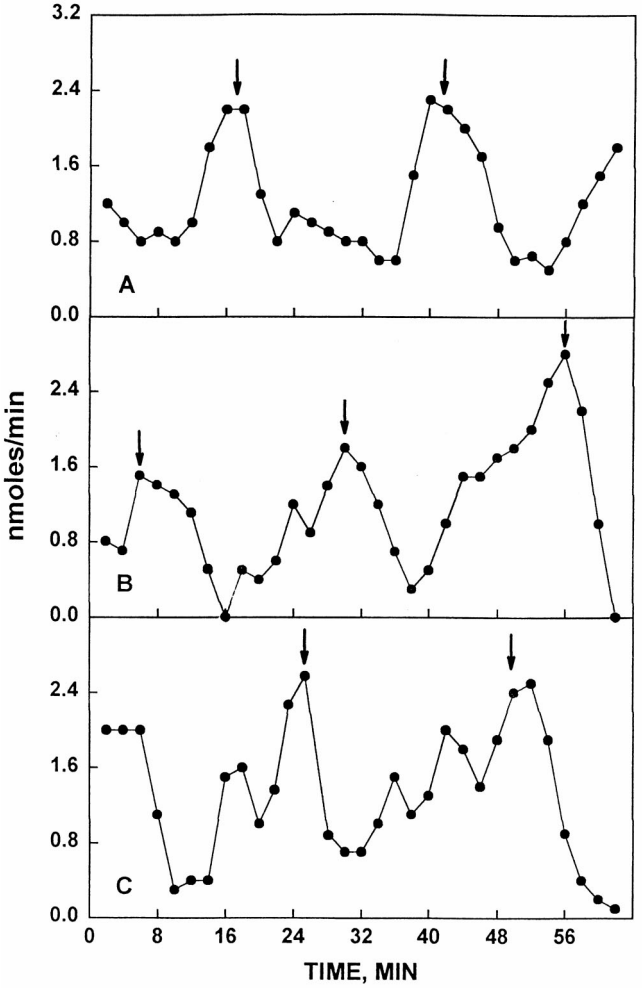

Fig. 2. As in Fig. 1 except that rates of NADH oxidation were calculated from the change in A_{340} using the technique of numerical averaging where the changes in absorbance (A) at time $t=(A_{t+1}-A_{t-1})/2$ are given as A_{340} converted to specific activity. (A) Fresh skin (solid circles of Fig. 1). (B) Frozen skin (open circles of Fig. 1). (C) Frozen skin (solid triangles of Fig. 1). Single downward-pointing arrows denote a period length of 24 min.

NADH oksydaza z tłuszczu mleka

17°C 23,8m
27°C 23,8m
37°C 23,5m

Średnio cykl 23,7 min +/- 0,17min

Pamiętanie fazy, nie badano resetowania

Cząteczki zegara o różnej fazie, powoli uwspólniają fazę (homeopatia)

Triton X-100 nie wpływa na cykl

Zamrożenie -70 °C i rozmrożenie nie zmienia fazy zegara czy resetuje??

Niezależność cyklu od drastycznych zmian środowiska świadczyłaby o izolowaniu fazy zegara w jądrze atomowym.

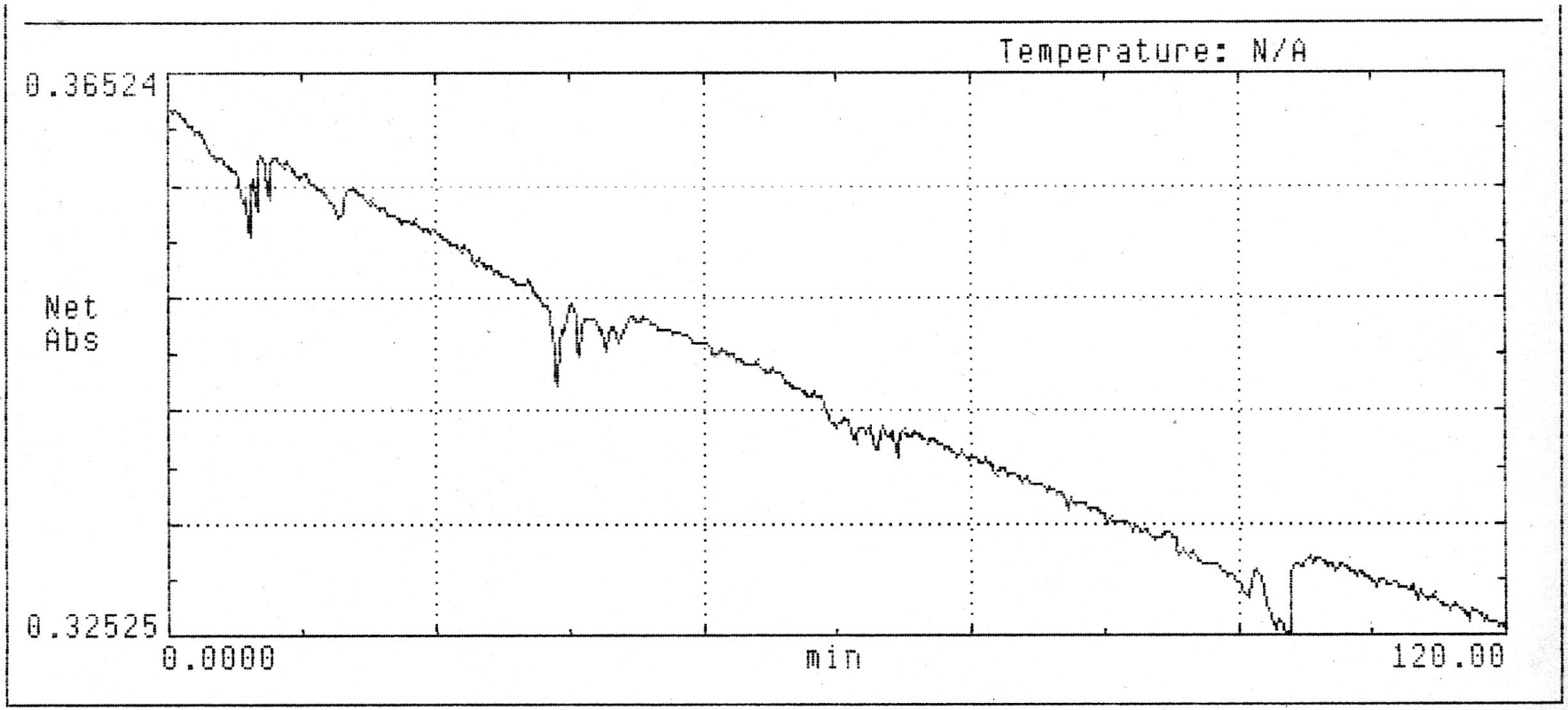

200µl ⊙1/1200µl 6.06.2007

Free Radical Research (2003) **37**(8): 795-808

Cell Surface NADH Oxidases (ECTO-NOX Proteins) with Roles in Cancer, Cellular Time-keeping, Growth, Aging and Neurodegenerative Diseases

D. JAMES MORRÉ[a,*] and DOROTHY M. MORRÉ[b]

TABLE II Amyloid-forming proteins that exhibit periodic (copper-dependent) oscillations in NADH oxidation

CNOX (CLOX)*	24 min	ECTO-NOX proteins
tNOX†	22 min	
arNOX‡	26 min	
Aβ 1–42	24 min	Alzheimer's
Mouse prion	24 min	Spongiform encephalopathies
α-Synuclein	54 min	Parkinson's

*Constitutive NOX (normal cells and tissues). †Tumor NOX (cancer specific). ‡Age-related NOX (aged >60 y individuals).

NADH oksydaza

normalna

nowotworowa

starych komórek >60lat

Wzór Schumanna

$$f_n = C/2\pi r \sqrt{n(n-1)}$$

Winfried Otto Schuman przewidział obecność promieniowania rezonansowego w 1952. Ustalił on jako pierwszy, że przestrzeń pomiędzy silnie przewodzącą ziemią i podobnie silnie przewodzącą jonosferą reprezentuje falowód, który powinien mieć charakterystyczne naturalne częstotliwości rezonansowe. Jest to dwuwymiarowy rezonator, pobudzany burzami w Amazonii i środkowej Afryce. (Rezonans stochastyczny)

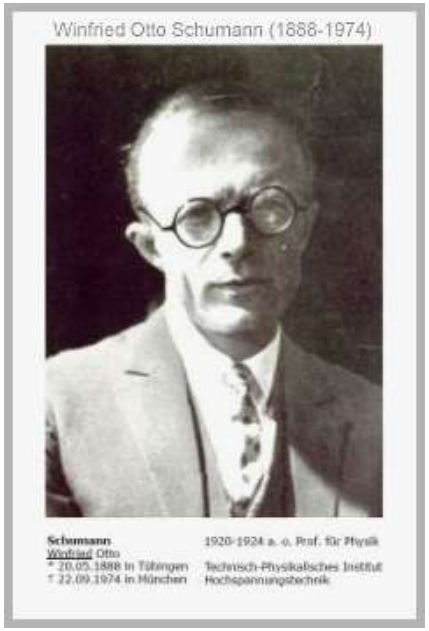

nr piku	f_n rezonansu wg wzoru Schumana	f z wykresu	Średnia z siedmiu publikacji [44]
		6	
1	**8,48**	8	**7,82**
2	14,70	14	14,08
3	20,78	20	20,20
4	26,83	26	26,21
5	32,86	32	
6	38,88	38	
7	44,89	44	
8	50,91	51	

Jest wiele urządzeń wytwarzających pole magnetyczne o częstotliwościach promieniowania Schumana: Spooky 2 itp.

Rezonans Schumana, czy częstotliwości pola fraktala planetarnego ?

Intensywność pola Schumana rzędu 0.001pT - 1pT
Intensywność pulsacji geomagnetycznych 0,01 - 600nT

Częstotliwości promieniowania Schumana są podobne do harmonicznych pochodzących od fraktala planetarnego.

Promieniowanie Schumana to z definicji pole elektromagnetyczne
Pulsacje geomagnetyczne odzwierciedlają pole torsyjne.
To pola torsyjne działają na organizm, nie pola elektromagnetyczne

Porównanie teoretycznych częstotliwości i częstotliwości Schumana

harmoniczna częstotliwości 2,88Hz	f pola torsyjnego	f Schum. A	f Schum. B	f Schum. C, C1,C2	f dodatkowe Schum. zła pogoda	f Schum. D	f Schum. z wykresu
nr	Hz						
1	2,88						3
2	5,76				5,17		6
3	8,64	7,8	8,73 (7,83)	7,8		8	8,3
4	11,52				(12)		i inne
5	14,4	13,8	14	14		14	
6	17,28				17		
7	20,16	19,7	20	20		20	
8	23,04				22		
9	25,9	25,7	26	26		26	
10	28,8						
11	31,68	31,7	33	33		32	
12 (nowa warstwa)	**34,56**						34,5
13	37,44		39	39			
14	40,3						
15	43,2		45	45			

Częstotliwości nieszumanowskie

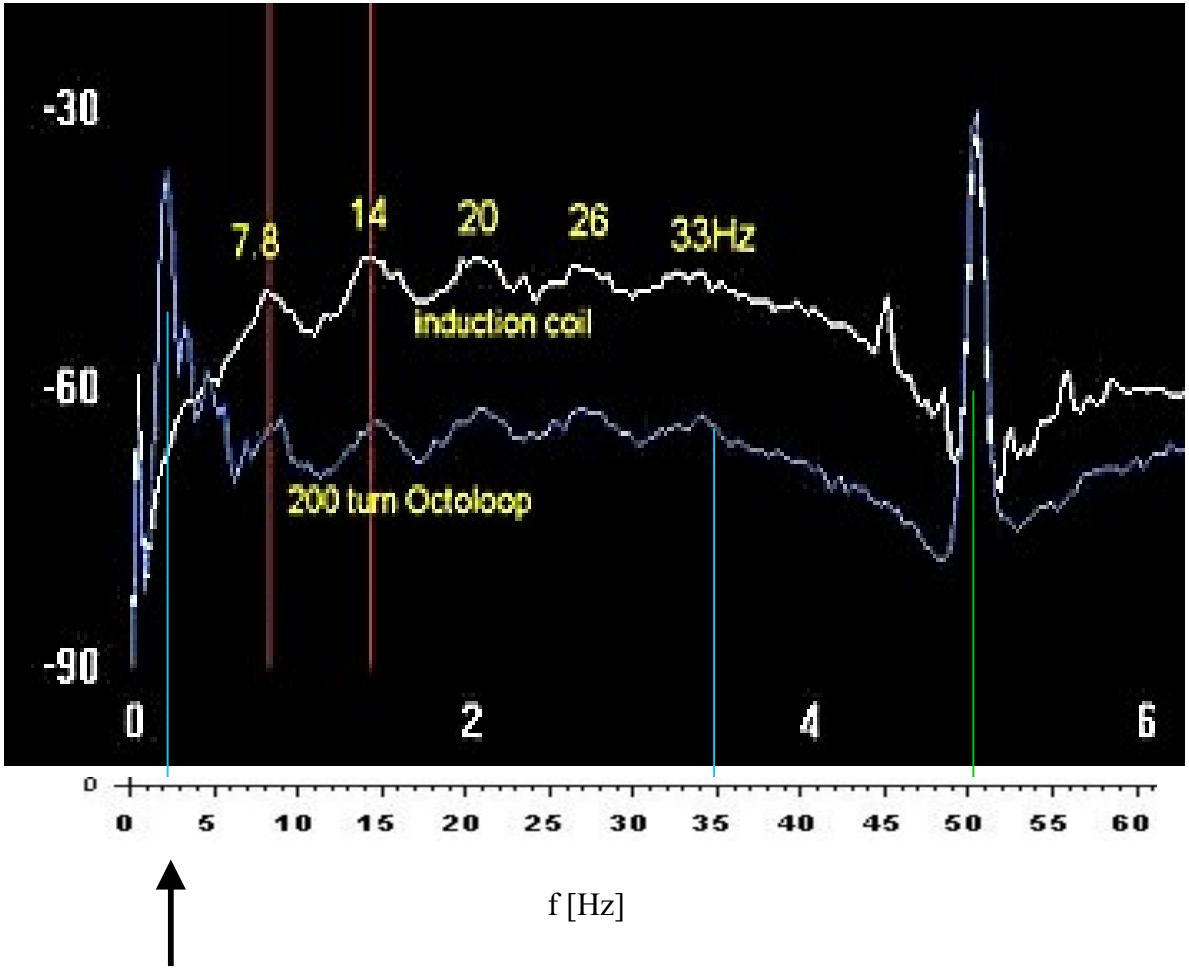

Spektrum promieniowania Szumana uzyskanego przy pomocy anteny ramowej posiadającej 200 zwoi - krzywa biała i cewki indukcyjnej - niebieska